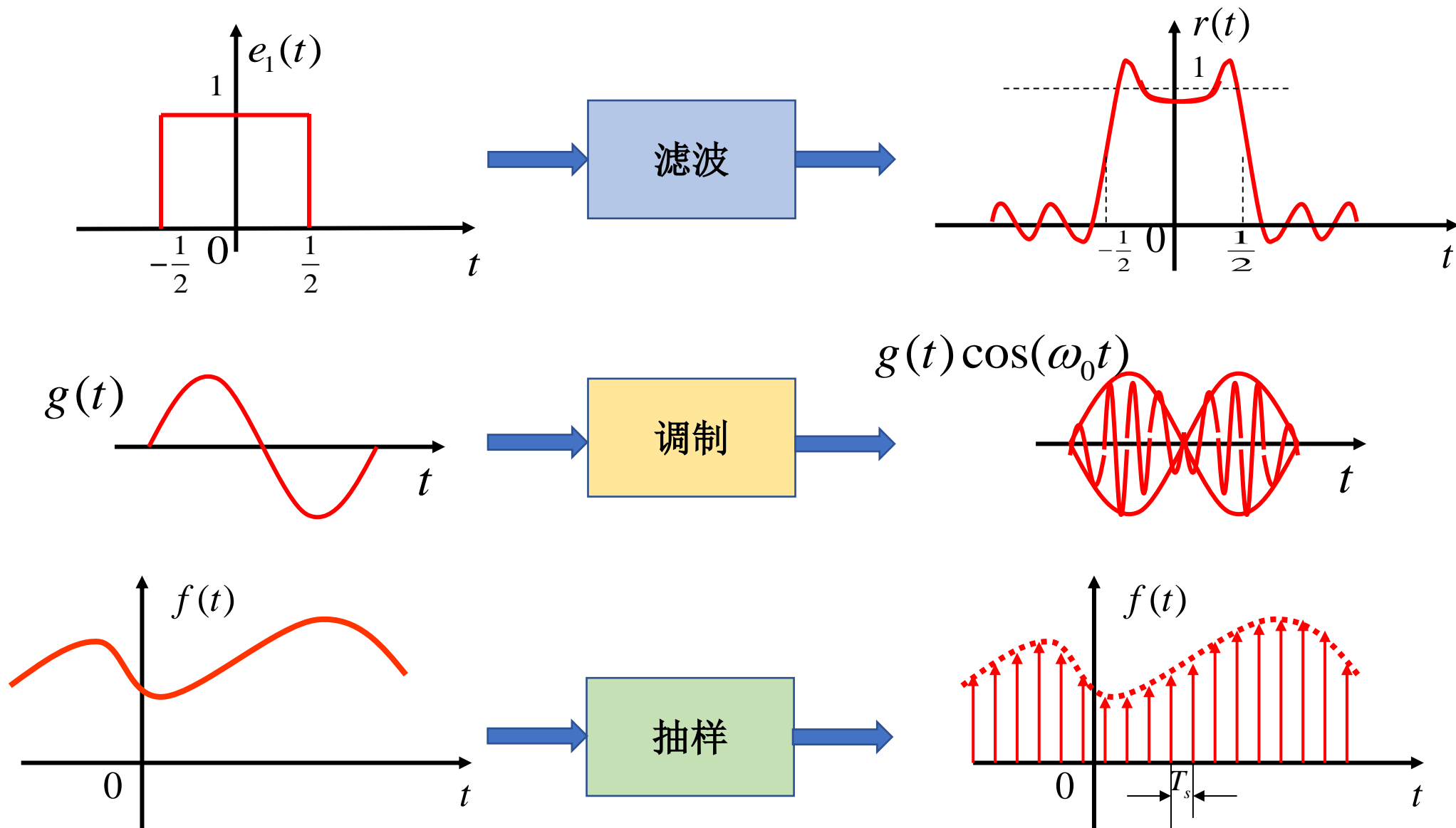


## 上节内容

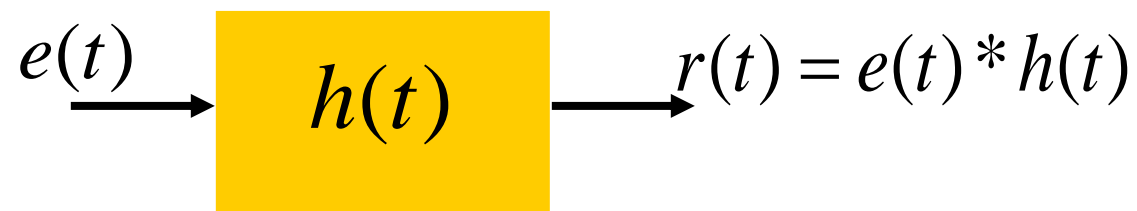
- 5.1 引言
- 5.2 利用频域系统函数求响应
- 5.3 无失真传输
- 5.4 理想低通滤波器
- 5.5 系统的物理可实现性



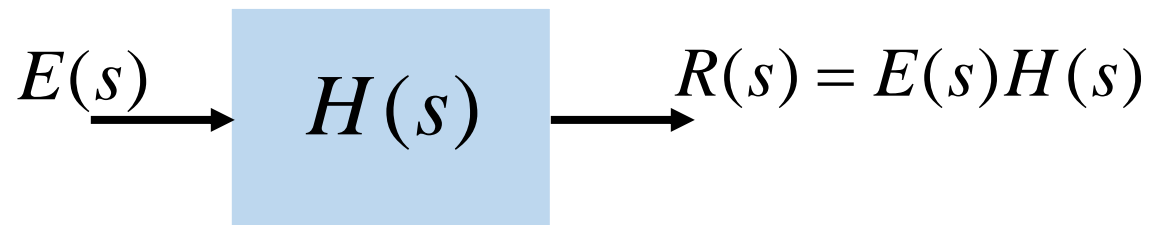
## 系统函数

激励与零状态响应的关系：

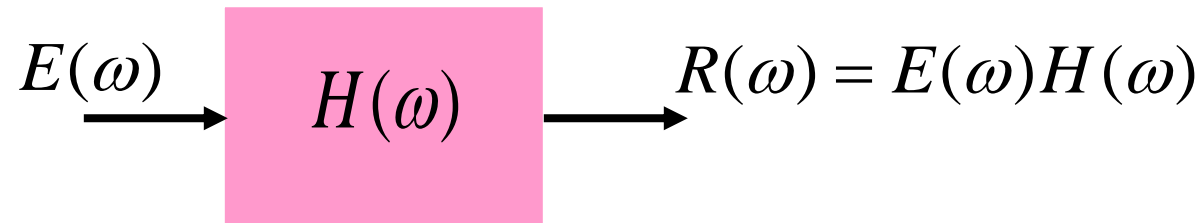
- 时域



- $s$ 域



- 频域



## 频域系统函数（频率响应）的定义和物理意义

定义：  $H(\omega) = \frac{R(\omega)}{E(\omega)}$       或       $H(\omega) = F[h(t)]$

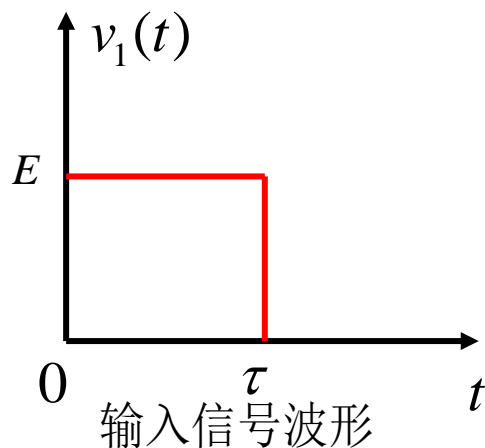
零状态响应的傅里叶变换为：

$$R(\omega) = H(\omega)E(\omega) = |H(\omega)|e^{j\varphi(\omega)}E(\omega)$$

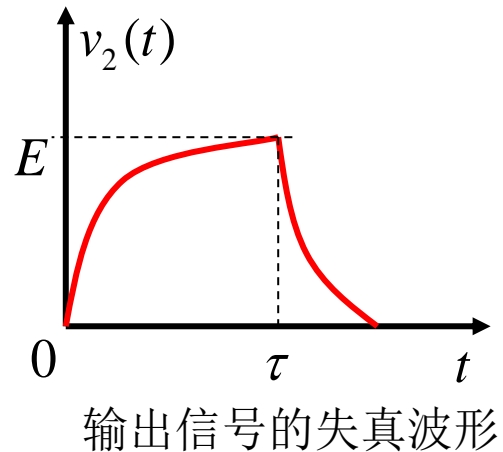
**频率响应的功能：改变输入信号的频谱**

- 1、对信号各频率分量进行加权，某些频率分量增强，而另一些分量则相对削弱或不变。
- 2、每个频率分量在传输过程中都产生各自的相移。

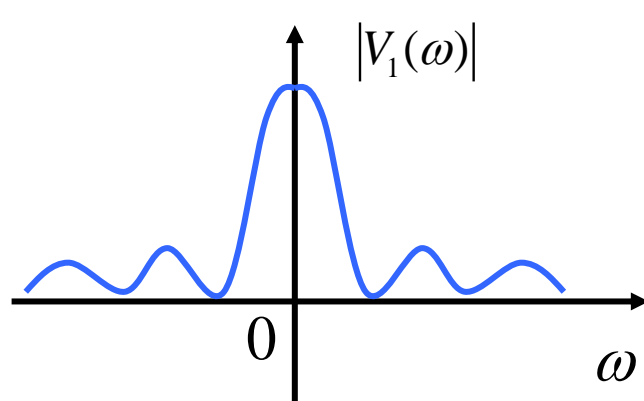
频域系统函数可以直观的体现信号通过系统后信号频谱的改变，解释激励与响应时域波形的差异，**物理概念清楚**。



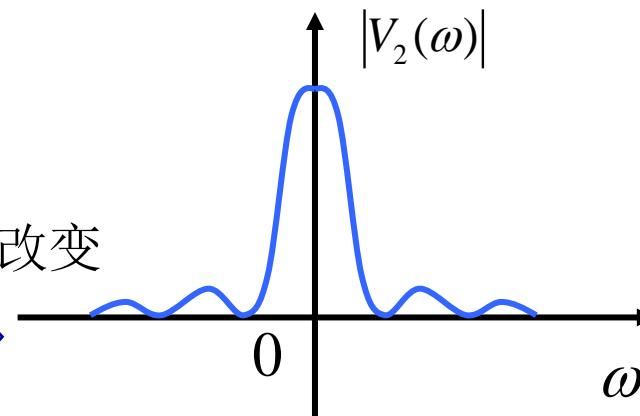
通过低通滤波器



输出信号的波形发生了失真，主要表现在上升和下降特性上。



频谱发生改变



输入信号的频谱的高频分量比起低频分量受到较严重的衰减。

(1)  $H(\omega)$  描述正弦稳态响应的频响特性。

$$H(s)|_{s=j\omega} = H(\omega) = |H(\omega)| e^{j\varphi(\omega)}$$

(2)  $H(\omega)$  为系统函数，即是系统冲激响应 $h(t)$ 的傅里叶变换。

$$H(\omega) = F[h(t)]$$

两者相等条件： $H(s)$ 的极点都位于 $s$ 平面的左半平面（稳定系统）。

$$F[h(t)] = H(\omega) = H(s)|_{s=j\omega}$$

### 5.3.1 信号失真原因

在频域观察，线性系统引起的信号失真有两方面因素：

- (1) **幅度失真**：系统对信号中**各频率分量幅度**产生不同程度的衰减，使响应分量的相对幅度发生变化。
- (2) **相位失真**：系统对各频率分量产生的**相移不与频率成正比**，使响应的各频率分量在时间轴上的相对位置发生变化。

二者都不产生新的频率分量，**没有频率失真**。

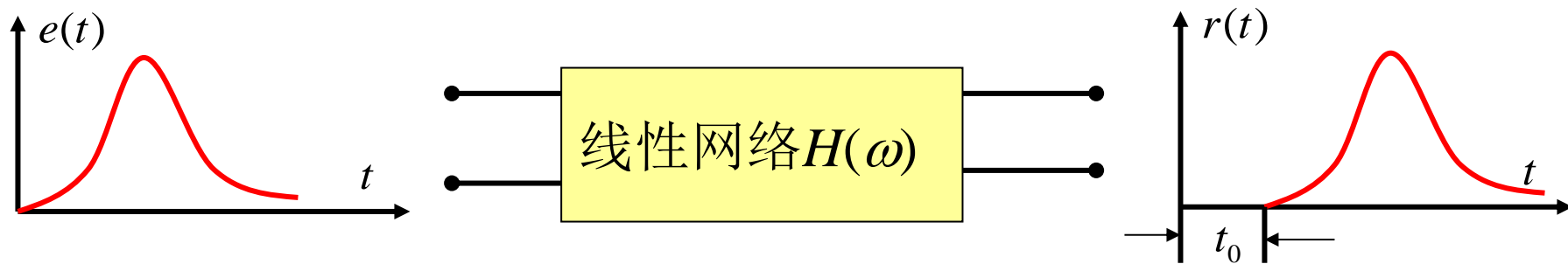
### 5.3.2 信号无失真传输的概念

无失真传输：响应信号与激励信号相比，只是大小与出现的时间不同，没有波形上的变化（时域波形传输不变），即

$$r(t) = Ke(t - t_0)$$

$K$ 是一常数， $t_0$ 为滞后时间。

满足无失真条件时， $r(t)$ 波形是 $e(t)$ 波形经 $t_0$ 时间的滞后。





### 5.3.3 信号无失真传输条件（对系统的要求）

#### 1. 系统无失真传输的频域条件

$$r(t) = Ke(t - t_0)$$

两边取傅里叶变换： $R(\omega) = KE(\omega)e^{-j\omega t_0}$

$$R(\omega) = H(\omega)E(\omega)$$

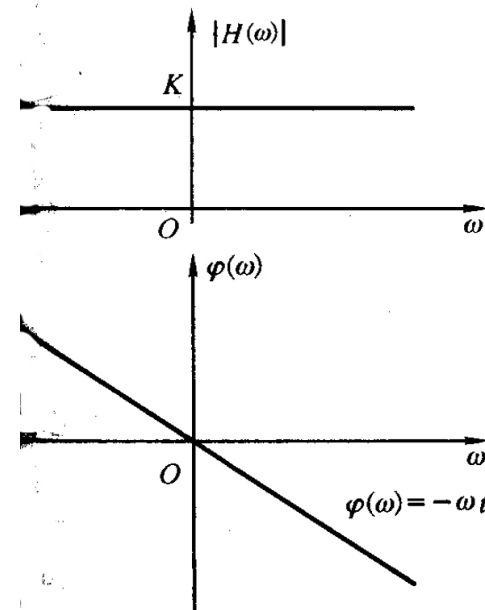
$$H(\omega) = Ke^{-j\omega t_0}$$

其中： $|H(\omega)| = K$

$$\varphi(\omega) = -\omega t_0$$

即要求系统的幅频响应特性为常数 $K$ ；  
相频响应为一通过原点的斜率为 $-t_0$ 的直线。

全通网络，信号幅度不失真



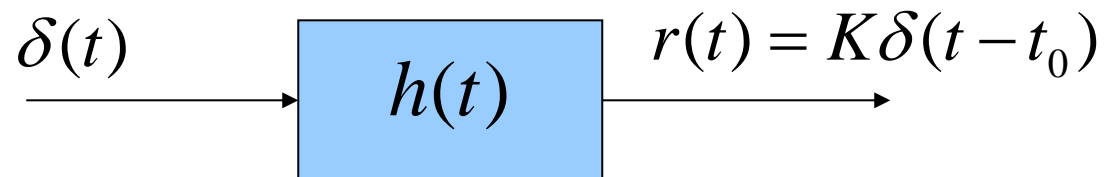
线性相位，波形不失真

### 2. 系统无失真传输的时域条件

$$H(\omega) = Ke^{-j\omega t_0}$$

取傅里叶逆变换： $h(t) = K\delta(t - t_0)$

即要求系统的冲激响应也是冲激函数，而时间延后 $t_0$ 。

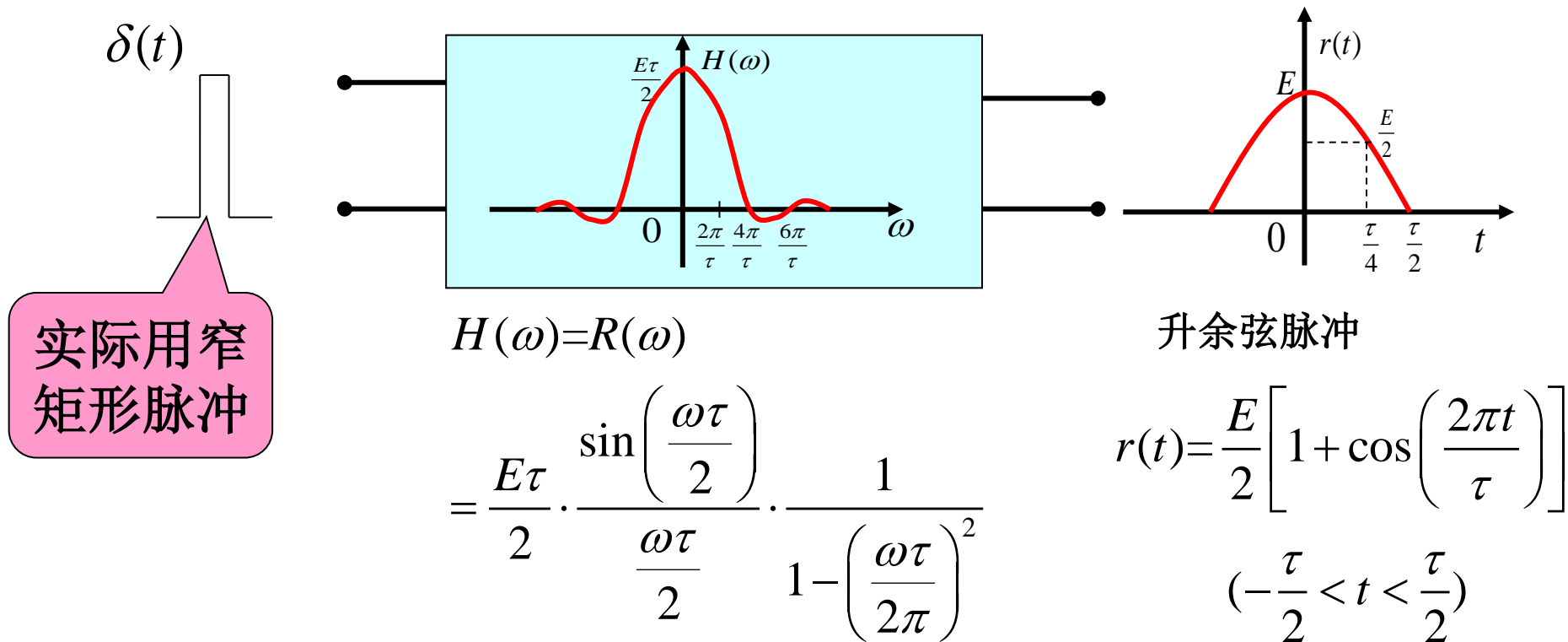


常用冲激信号作为测试系统保真度的信号。

### 5.3.5 利用失真产生特定波形

在实际中，可通过设计系统函数，利用信号失真形成特定波形。

利用冲激信号作用于系统产生特定波形 $r(t)$ ：



关于理想低通滤波器正确的说法是（ ）

- ☐ A 其幅频响应在整个频谱范围内是常数
- ☒ B 其冲激响应的波形为Sa函数
- ☒ C 其带宽与阶跃响应的上升时间成反比
- ☐ D 其为因果系统

提交

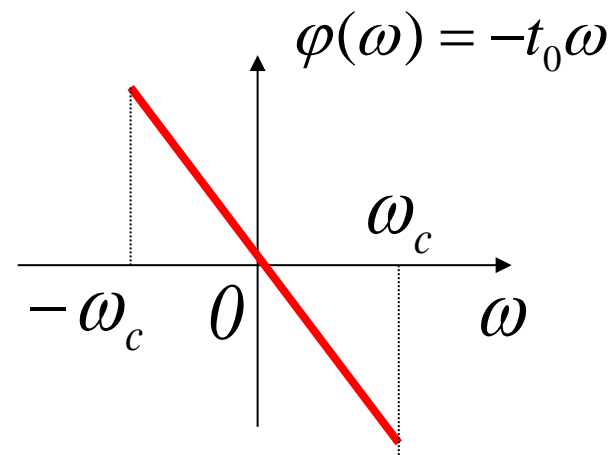
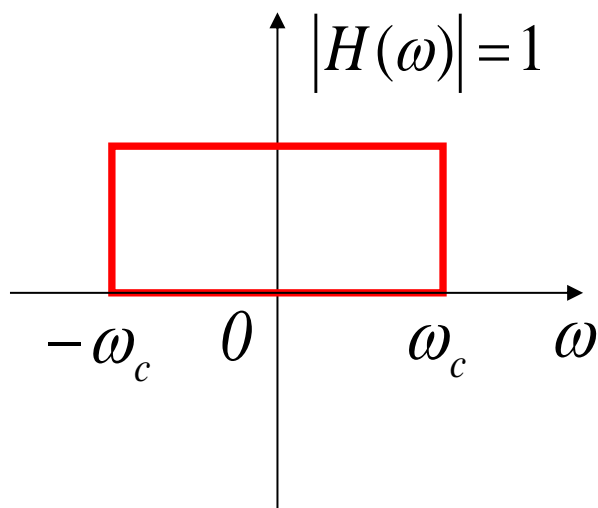
### 5.4.1 理想低通滤波器的频域特性和冲激响应

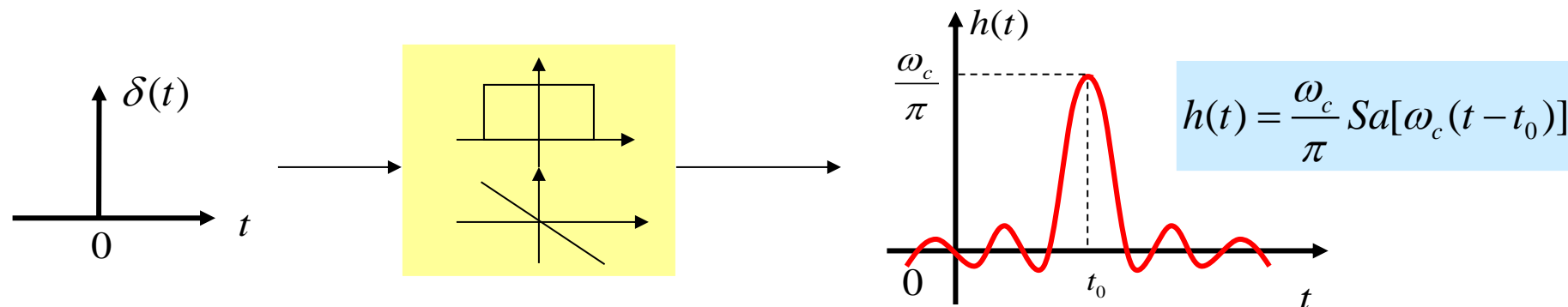
**理想滤波器：** 频率响应具有**矩形幅度**特性和**线性相移**特性。

理想低通滤波器的频率响应：

$$H(\omega) = |H(\omega)|e^{j\varphi(\omega)} = \begin{cases} 1 \cdot e^{-j\omega t_0} & |\omega| < \omega_c \\ 0 & \text{other} \end{cases}$$

$\omega_c$  称为**截止频率**。

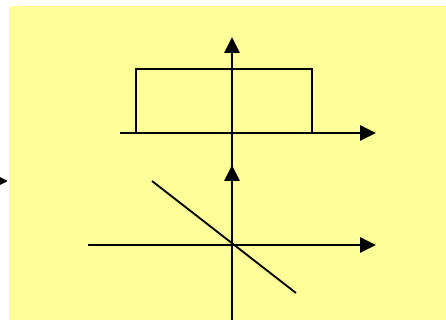
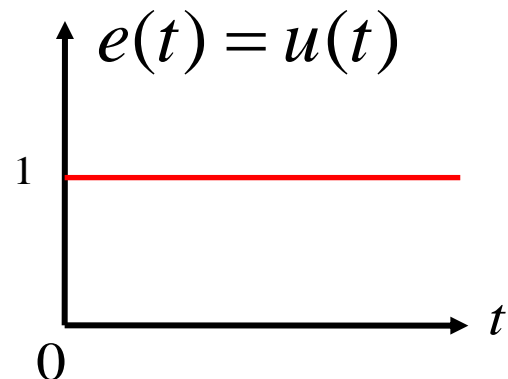




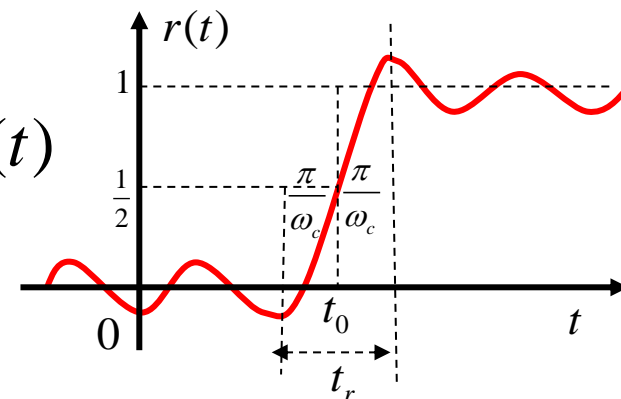
分析:

- (1)  $h(t)$ 的波形是一个**抽样函数即Sa函数**，不同于输入信号 $\delta(t)$ 的波形，**有失真**。
  - ✓ 原因：**理想低通滤波器**是一个**带限系统**，而冲激信号 $\delta(t)$ 的频带宽度为无穷大。
- (2)  $h(t)$ 主峰出现时刻延迟了一段时间 $t_0$ 。 $t_0$ 是**理想低通滤波器的群延时**。
- (3)  $h(t)$ 在 $t<0$ 时也存在输出，可见**理想低通滤波器**是一个**非因果系统**，因而它是一个**物理不可实现**的系统。

### 5.4.2 理想低通滤波器的阶跃响应



$$H(\omega) = e^{-j\omega t_0} \quad |\omega| < \omega_c$$



$$r(t) = \frac{1}{2} + \frac{1}{\pi} \text{Si}[\omega_c(t - t_0)]$$

分析:

- (1)  $g(t)$ 比 $u(t)$ 出现时刻延迟了时间 $t_0$ 。
- (2) 上升时间: 输出由最小值到最大值所需要的时间。

$$\text{Si}(y) = \int_0^y \frac{\sin x}{x} dx$$

$$t_r = 2 \cdot \frac{\pi}{\omega_c}$$

阶跃响应的上升时间与系统的截止频率(带宽)成反比。(测不准原理, 详见教材6.10节)

- (3) 存在吉布斯现象 (详见教材P291页)。

### 5.4.3 理想低通滤波器的矩形脉冲响应

$$e(t) = u(t) - u(t - \tau)$$

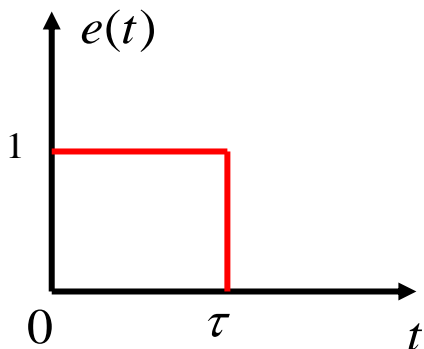
$$r(t) = \left\{ \frac{1}{2} + \frac{1}{\pi} \text{Si}[\omega_c(t - t_0)] \right\} - \left\{ \frac{1}{2} + \frac{1}{\pi} \text{Si}[\omega_c(t - \tau - t_0)] \right\}$$

$$r(t) = \frac{1}{\pi} \{ \text{Si}[\omega_c(t - t_0)] - \text{Si}[\omega_c(t - t_0 - \tau)] \}$$

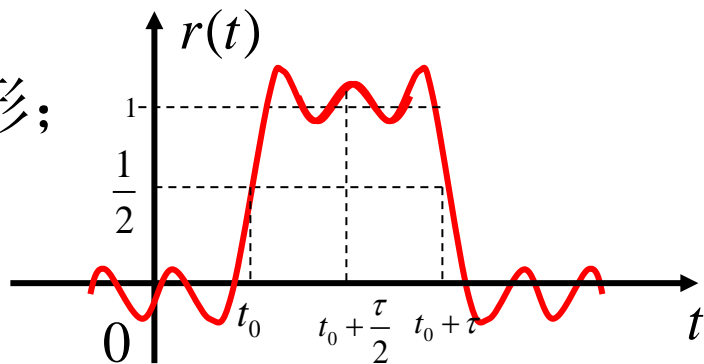
输入信号带宽为  $B = 2\pi/\tau$ 。

当脉宽  $\tau \gg \frac{2\pi}{\omega_c}$ , 即  $\omega_c \gg B$  时, 响应波形大体为矩形;

当脉宽  $\tau \leq \frac{2\pi}{\omega_c}$  时, 响应波形失真严重, 像正弦波。



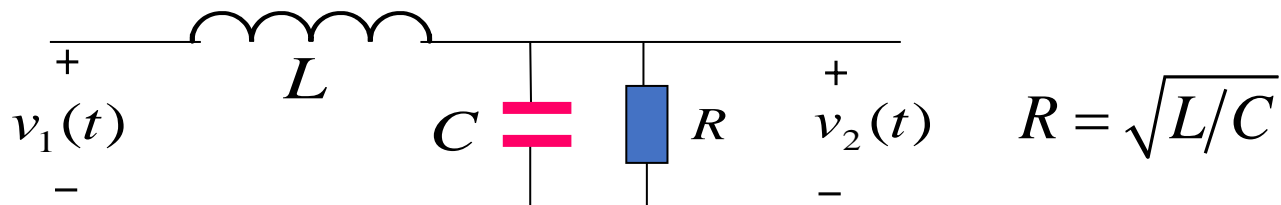
输入信号波形



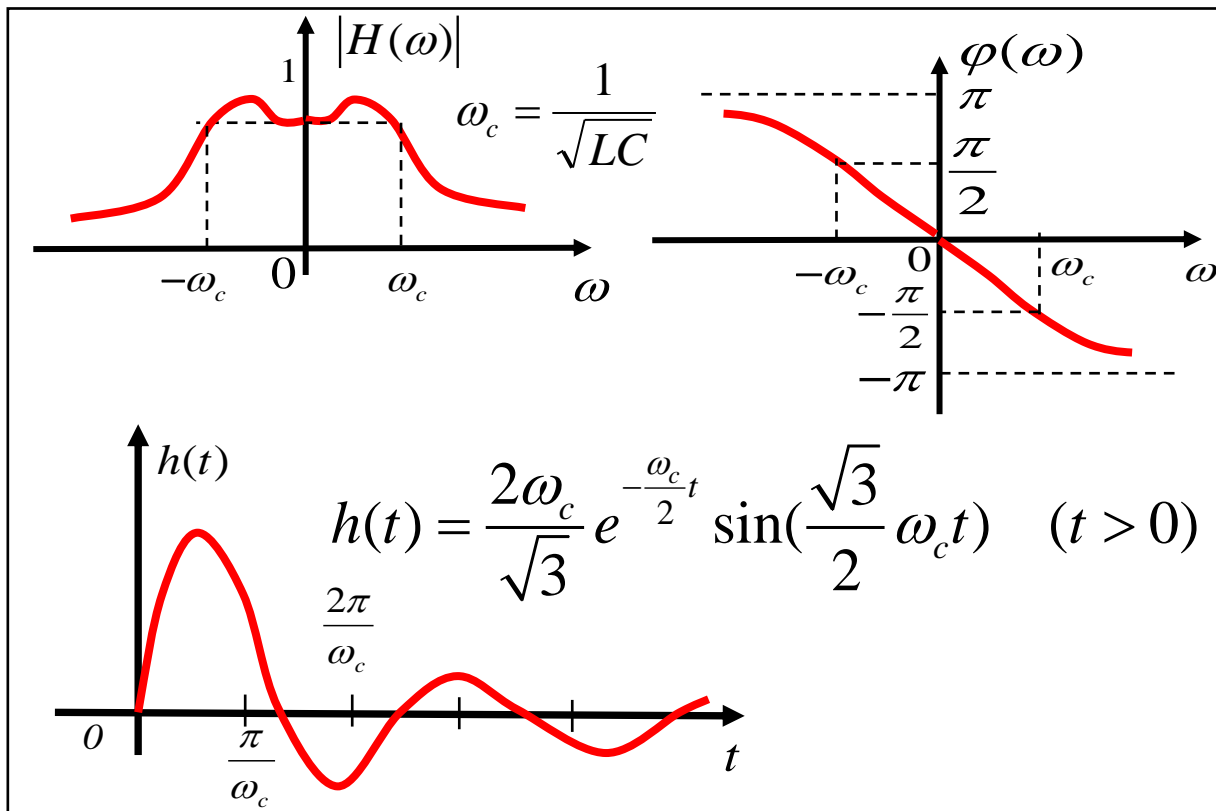
矩形脉冲通过理想低通滤波器



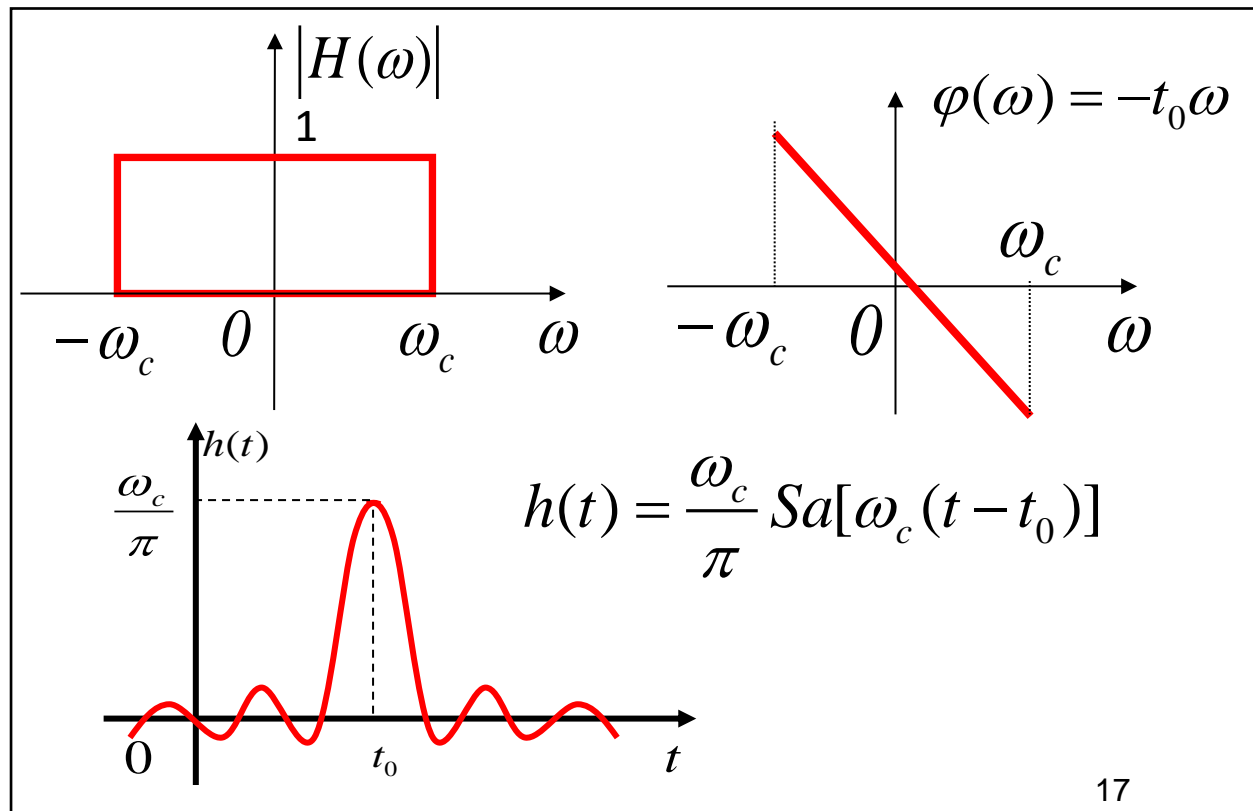
一个低通滤波器电路如图所示。



物理可实现低通滤波器的频率响应和冲激响应



理想低通滤波器的频率响应和冲激响应



理想低通、带通、高通、带阻滤波器在物理上都是不可实现的。

物理可实现的标准：

(1) 时域——因果性（输出只与输入的现在和过去有关）是物理可实现的充分必要条件，即  $h(t) = 0 \ (t < 0)$ 。

(2) 频域——如果幅度响应的平方可积  $\int_{-\infty}^{\infty} |H(\omega)|^2 d\omega < \infty$

佩利-维纳 (Payley-Wiener) 准则——物理可实现（因果性）的必要条件

$$\int_{-\infty}^{\infty} \frac{|\ln |H(\omega)||}{1 + \omega^2} d\omega < \infty$$

没有给出相位特性约束

不满足这个条件，系统就是不可实现的。

仅允许  $|H(\omega)|$  特性在某些不连续的频率点上为零；但不允许  $|H(\omega)|$  在一个有限频带内为零。即限制了幅度特性的衰减速度。  
理想低通、理想高通、理想带通和理想带阻等都是不可实现的。

如果  $|H(\omega)| = 0$ ,  $|\ln |H(\omega)|| \rightarrow \infty$

佩利-维纳准则是物理可实现（因果性）的必要条件，不是充分条件。

$$h(t) \rightarrow H(\omega) \quad \text{因果}$$

$$h(t+t_0) \rightarrow H(\omega)e^{j\omega t_0}, \quad t_0 > 0 \quad \text{非因果}$$

两者幅度特性相同，满足佩利-维纳准则，但相位特性不同。

如果 $|H(\omega)|$ 已被检验满足佩利-维纳准则，就可以找到适当的相位函数 $\phi(\omega)$ 与 $|H(\omega)|$ 一起构成物理可实现的系统函数。

## 本次课内容

- 5.6 利用希尔伯特变换研究系统函数的约束特性
- 5.7 调制与解调
- 5.8 从抽样信号恢复连续时间信号
- 5.9 频分复用（FDM）与时分复用（TDM）

## 本次课目标

1. 了解系统函数实部和虚部的**希尔伯特变换对**特性；
2. 熟练掌握**调制**和**解调**的频域分析；
3. 抽样信号的**保持**和频域分析；
4. 理解**复用**的概念和分析方法。

5.1 引言

5.2 利用频域系统函数求响应

5.3 无失真传输

5.4 理想低通滤波器

5.5 系统的物理可实现性

5.6 利用希尔伯特变换研究系统函数的约束特性

5.7 调制与解调

5.8 从抽样信号恢复连续时间信号

5.9 频分复用 (FDM) 与时分复用 (TDM)

系统可实现性的实质是系统具有**因果性**。由于系统的因果性，系统函数的**实部与虚部**之间一定具备某种**相互制约**的特性：满足**希尔伯特(Hilbert)变换对**的约束关系。

对于因果系统，其冲激响应为： $h(t) = h(t)u(t)$

根据频域卷积定理： $F(h(t)) = \frac{1}{2\pi} \{ F[h(t)] * F[u(t)] \}$

$$\begin{aligned} \text{可得: } H(\omega) = R(\omega) + jX(\omega) &= \frac{1}{2\pi} \left\{ [R(\omega) + jX(\omega)] * \left[ \pi\delta(\omega) + \frac{1}{j\omega} \right] \right\} \\ &= \frac{1}{2\pi} \left\{ R(\omega) * \pi\delta(\omega) + X(\omega) * \frac{1}{\omega} \right\} + \frac{j}{2\pi} \left\{ X(\omega) * \pi\delta(\omega) - R(\omega) * \frac{1}{\omega} \right\} \\ &= \underbrace{\left\{ \frac{R(\omega)}{2} + \frac{1}{2\pi} \int_{-\infty}^{\infty} \frac{X(\lambda)}{\omega - \lambda} d\lambda \right\}}_{R(\omega)} + j \underbrace{\left\{ \frac{X(\omega)}{2} - \frac{1}{2\pi} \int_{-\infty}^{\infty} \frac{R(\lambda)}{\omega - \lambda} d\lambda \right\}}_{X(\omega)} \end{aligned}$$

希尔伯特变换对:

$$R(\omega) = \frac{1}{\pi} \int_{-\infty}^{\infty} \frac{X(\lambda)}{\omega - \lambda} d\lambda$$

$$X(\omega) = -\frac{1}{\pi} \int_{-\infty}^{\infty} \frac{R(\lambda)}{\omega - \lambda} d\lambda$$

说明: 对于因果系统, 其系统函数具有一个重要特性——实部  $R(\omega)$  被已知的虚部  $X(\omega)$  唯一的确定, 反之, 虚部  $X(\omega)$  被已知的实部  $R(\omega)$  唯一确定。

推广:

对于任意因果函数 (信号), 其傅里叶变换的实部与虚部也构成希尔伯特变换对的特性。

即: 若函数  $f(t)$  满足  $f(t) = f(t)u(t)$ , 且  $f(t)$  的傅里叶变换为  $F(\omega) = R(\omega) + jX(\omega)$ 。则  $R(\omega)$  与  $X(\omega)$  之间构成希尔伯特变换对。



关于希尔伯特变换下列说法**错误**的是( )

- ☐ A 因果系统的系统函数  $H(\omega)$  的一个重要特性是实部被已知虚部唯一的确定，反之亦然。
- ☐ B  $R(\omega) = \frac{1}{\pi} \int_{-\infty}^{\infty} \frac{X(\lambda)}{\omega - \lambda} d\lambda$  和  $X(\omega) = -\frac{1}{\pi} \int_{-\infty}^{\infty} \frac{R(\lambda)}{\omega - \lambda} d\lambda$  称为希尔伯特变换对。
- ☒ C 傅里叶变换实部与虚部构成希尔伯特变换对的特性，只限于具有因果性的系统函数。

提交



**例5-4：**已知系统冲激响应  $h(t) = e^{-\alpha t} u(t)$ ，求系统函数并验证其实部与虚部之间满足希尔伯特变换关系。

**解：**  $H(\omega) = R(\omega) + jX(\omega) = F[e^{-\alpha t} u(t)]$

$$= \frac{1}{\alpha + j\omega} = \frac{\alpha}{\alpha^2 + \omega^2} - j \frac{\omega}{\alpha^2 + \omega^2}$$

可得：  $R(\omega) = \frac{\alpha}{\alpha^2 + \omega^2}, X(\omega) = \frac{-\omega}{\alpha^2 + \omega^2}$

现欲验证实部与虚部之间满足希尔伯特变换关系，即通过  $X(\omega)$  求  $R(\omega)$ 。

$$\begin{aligned}
 \frac{1}{\pi} \int_{-\infty}^{\infty} \frac{X(\lambda)}{\omega - \lambda} d\lambda &= \frac{1}{\pi} \int_{-\infty}^{\infty} \frac{-\lambda}{(\alpha^2 + \lambda^2)(\omega - \lambda)} d\lambda \\
 &= \frac{1}{\pi(\alpha^2 + \omega^2)} \int_{-\infty}^{\infty} \left( -\frac{\omega\lambda}{\alpha^2 + \lambda^2} + \frac{\alpha^2}{\alpha^2 + \lambda^2} - \frac{\omega}{\omega - \lambda} \right) d\lambda \\
 &= \frac{1}{\pi(\alpha^2 + \omega^2)} \left[ -\frac{\omega}{2} \ln(\alpha^2 + \lambda^2) + \alpha \arctan\left(\frac{\lambda}{\alpha}\right) - \omega \ln(\omega - \lambda) \right] \Big|_{-\infty}^{\infty} \\
 &= \frac{\alpha}{(\alpha^2 + \omega^2)} = R(\omega)
 \end{aligned}$$

同理可得：

$$\begin{aligned}
 -\frac{1}{\pi} \int_{-\infty}^{\infty} \frac{R(\lambda)}{\omega - \lambda} d\lambda &= -\frac{1}{\pi} \int_{-\infty}^{\infty} \frac{\alpha}{(\alpha^2 + \lambda^2)(\omega - \lambda)} d\lambda \\
 &= \frac{\omega}{(\alpha^2 + \omega^2)} = X(\omega)
 \end{aligned}$$

### 用希尔伯特变换对证明佩利-维纳准则

系统的频率响应可表示为： $H(\omega) = |H(\omega)|e^{j\varphi(\omega)} = e^{A(\omega)+j\varphi(\omega)}$

其中， $A(\omega) = \ln|H(\omega)|$  为衰减因子， $\varphi(\omega)$  为相位因子。

考虑希伯尔特变换对，则：

$$A(\omega) = \frac{1}{\pi} \int_{-\infty}^{\infty} \frac{\varphi(\lambda)}{\omega - \lambda} d\lambda \qquad \varphi(\omega) = -\frac{1}{\pi} \int_{-\infty}^{\infty} \frac{A(\lambda)}{\omega - \lambda} d\lambda$$

因为任何可行滤波器的相位均满足  $|\varphi(\omega)| < \infty$ ，所以

$$\int_{-\infty}^{\infty} \frac{\ln|H(\lambda)|}{\omega - \lambda} d\lambda < \infty \qquad \longrightarrow \qquad \int_{-\infty}^{\infty} \frac{|\ln|H(\lambda)||}{\omega^2 + \lambda^2} d\lambda < \infty$$

令  $\omega = 1$ ，则有

$$\int_{-\infty}^{\infty} \frac{|\ln|H(\lambda)||}{1 + \lambda^2} d\lambda < \infty$$

5.1 引言

5.2 利用频域系统函数求响应

5.3 无失真传输

5.4 理想低通滤波器

5.5 系统的物理可实现性

5.6 利用希尔伯特变换研究系统函数的约束特性

**5.7 调制与解调**

5.8 从抽样信号恢复连续时间信号

5.9 频分复用（FDM）与时分复用（TDM）

关于调制正确的说法有( )

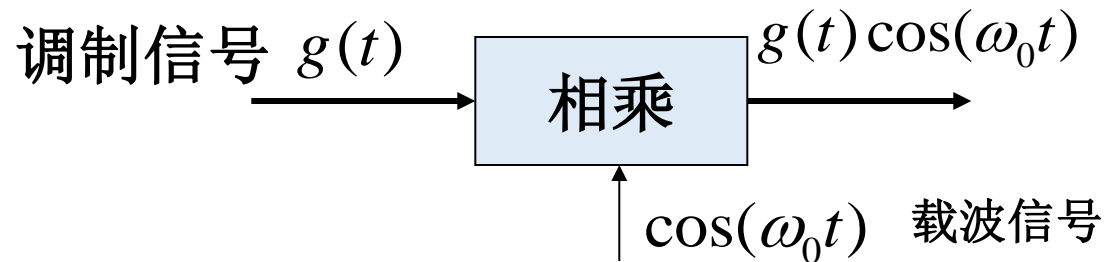
- ☒ A 调制频率越高，天线尺寸越小
- ☐ B 调制频率越高，信号在传输中衰减越小
- ☐ C 必须要本地载波才可以实现解调
- ☒ D 调制后的频谱可能不会与原始频谱相似

提交

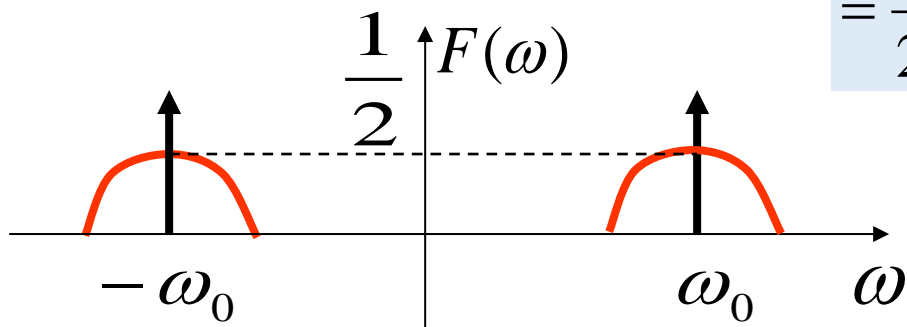
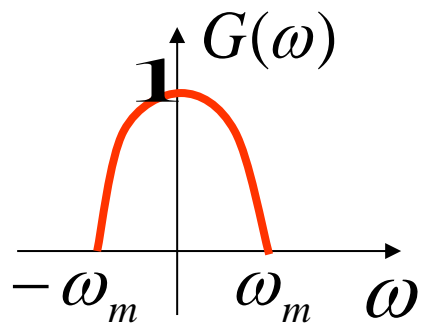
### 5.7.1 调制的目的

- **信号能有效的被辐射条件：**天线尺寸为被辐射信号波长的十分之一或更大些。如：对于语音信号，天线尺寸要在几十公里以上，不可能实际制作。
- **调制：**将信号频谱搬移到任何所需的较高频率范围，制作合理尺寸的天线，容易发射。
- **调制作用的实质**是把各种信号的**频谱搬移**，使它们互不重叠地占据不同的频率范围，即信号依附于不同频率的载波上，接收机可以分离出所需频率的信号，不致互相干扰。（频移定理）
- **改善电波传播的衰减：**高频信号容易衰减。
- **实现多路复用：**用同一部电台将各路信号的频谱分别搬移到不同的频率区段，在同一信道内传送多路信号的多路通信。  
频分复用：基于傅里叶变换的频移特性

## 5.7.2 调制原理



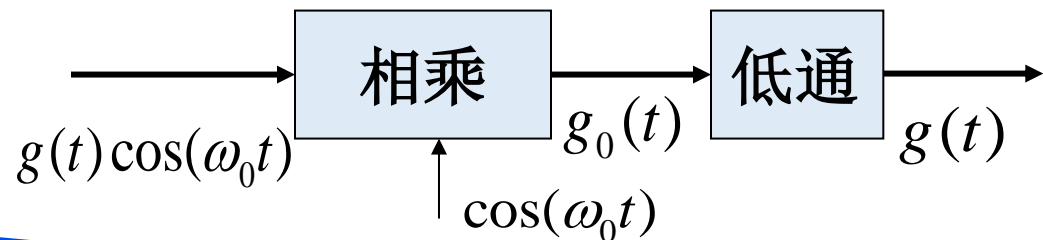
已调信号  $f(t) = g(t) \cos \omega_0 t$



$$F(\omega) = \frac{1}{2\pi} G(\omega) * [\pi\delta(\omega + \omega_0) + \pi\delta(\omega - \omega_0)]$$

$$= \frac{1}{2} [G(\omega + \omega_0) + G(\omega - \omega_0)]$$

## 5.7.3 同步解调原理



同步解调：接收端与发射端具有同频同相的本地载波。

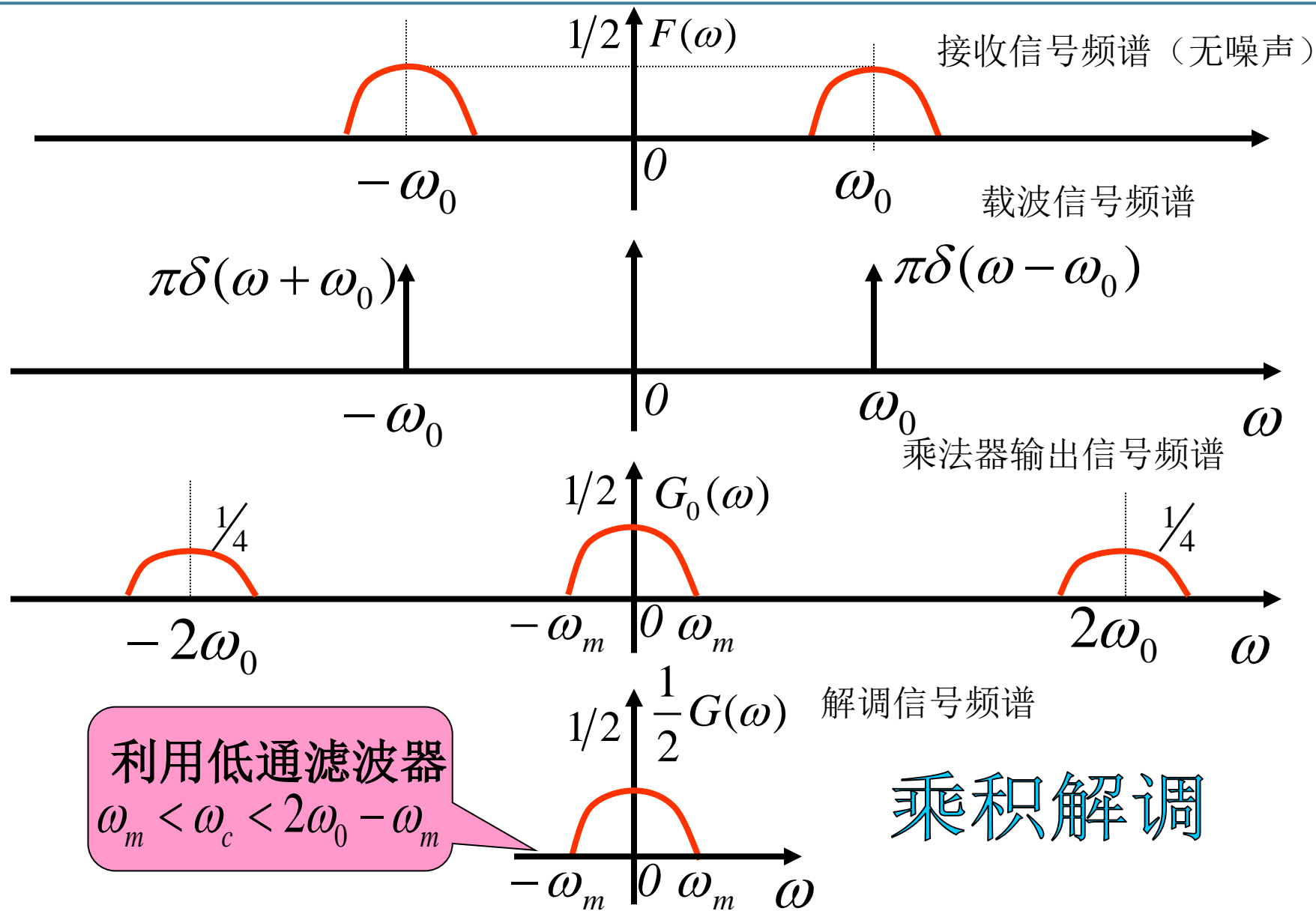
$$g_0(t) = [g(t)\cos\omega_0 t]\cos\omega_0 t$$

$$= \frac{1}{2}g(t)(1 + \cos 2\omega_0 t)$$

$$= \frac{1}{2}g(t) + \frac{1}{2}g(t)\cos 2\omega_0 t$$

$$G_0(\omega) = \frac{1}{2}G(\omega) + \frac{1}{4}[G(\omega + 2\omega_0) + G(\omega - 2\omega_0)]$$

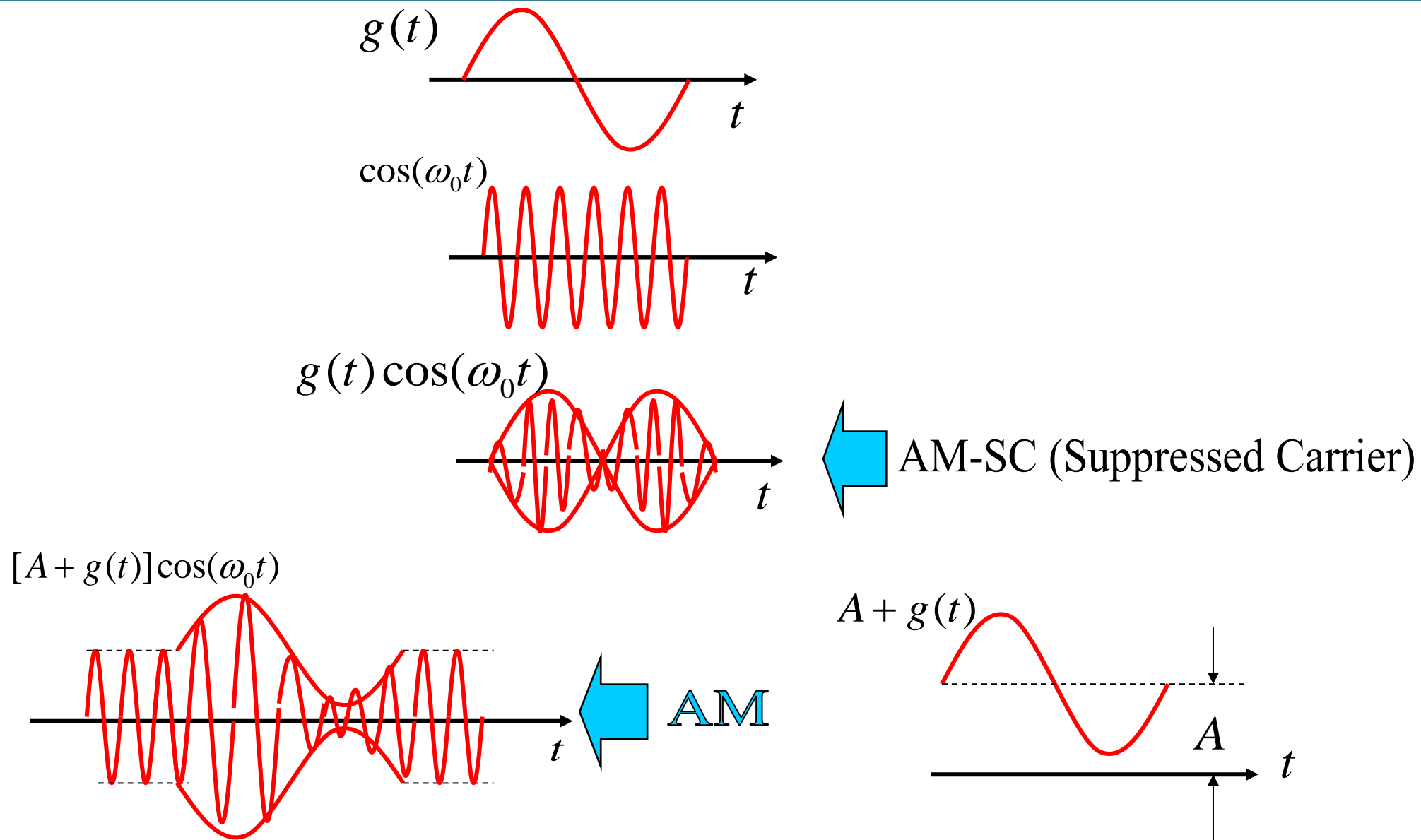




### 5.7.4 无需本地载波信号的解调

- 优点：简化接收机的结构，只需用包络检波器即可（二极管、电阻、电容组成）。
- 发送端的发射信号中加入一定强度的**载波信号**  $A \cos \omega_0 t$ ，即合成发射信号为  $[A + g(t)] \cos \omega_0 t$ 。如果  $A$  足够大，对于全部的  $t$ ， $A + g(t) > 0$ ，已调制信号的包络就是  $A + g(t)$ 。可以恢复出  $g(t)$ 。
- 技术简单，价格低，常用于民用通信设备。

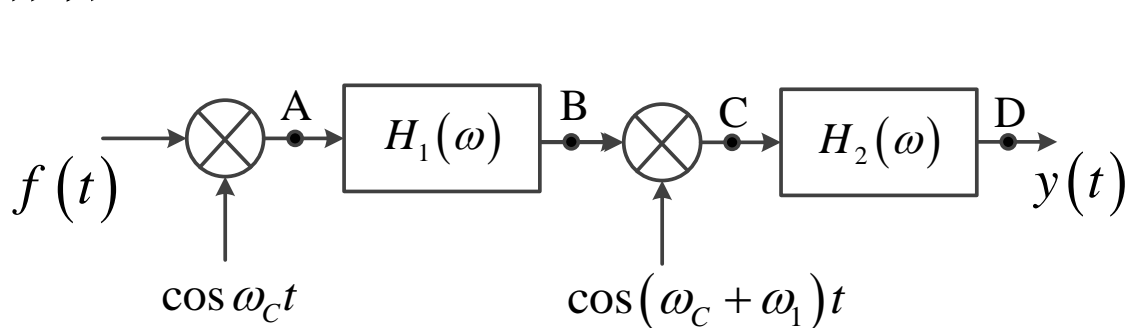
Amplitude Modulation (AM)



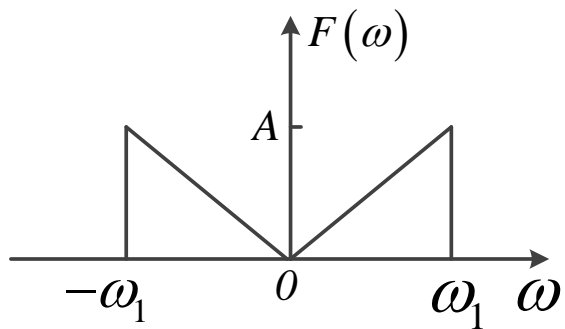
**例5-5：**通信工程中为了保密，常用倒频系统将语音信号在传输前进行倒频，在接收端收到倒频信号后，再设法恢复原信号。一倒频系统如下图（a）所示，激励限带信号 $f(t)$ 的频谱如下图（b）所示，已知两个滤波器的频率响应分别为

$$H_1(\omega) = \begin{cases} K & |\omega| > \omega_c \\ 0 & |\omega| < \omega_c \end{cases}, \quad H_2(\omega) = \begin{cases} K & |\omega| < \omega_c \\ 0 & |\omega| > \omega_c \end{cases}, \quad \text{其中 } \omega_c \gg \omega_1。$$

给出两个滤波器的名称。试绘出当 $f(t)$ 通过该系统时，系统中A、B、C、D点的频谱，并给出解释。



(a)

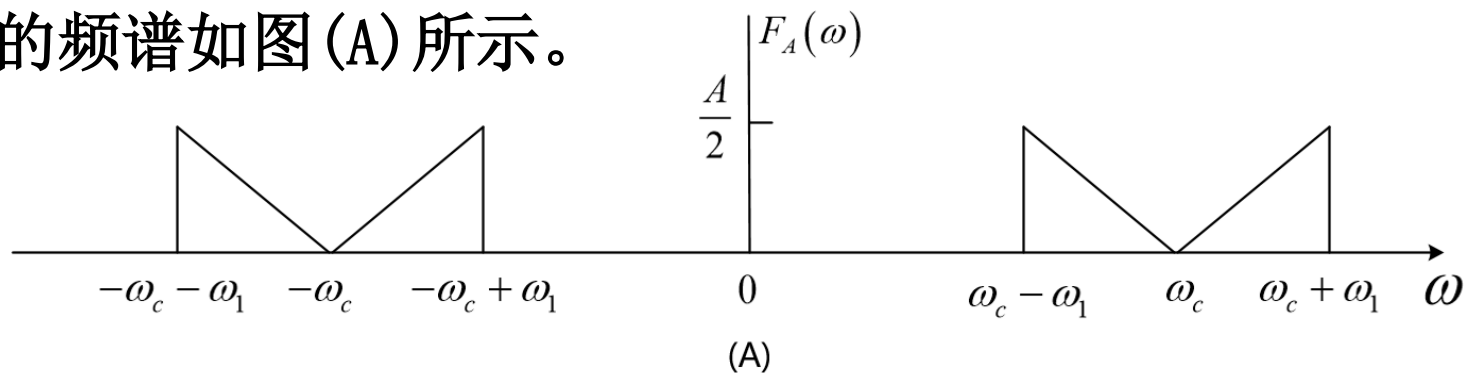


(b)

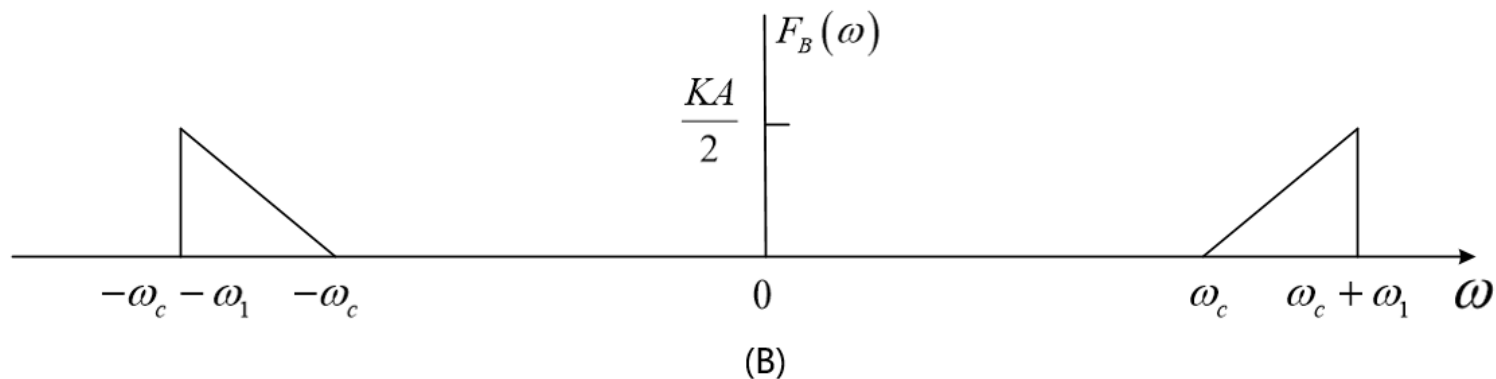
**解：**第一个为高通滤波器，第二个为低通滤波器。

$$f_A(t) = f(t) \cos \omega_c t \leftrightarrow F_A(\omega) = \frac{1}{2} [F(\omega + \omega_c) + F(\omega - \omega_c)]$$

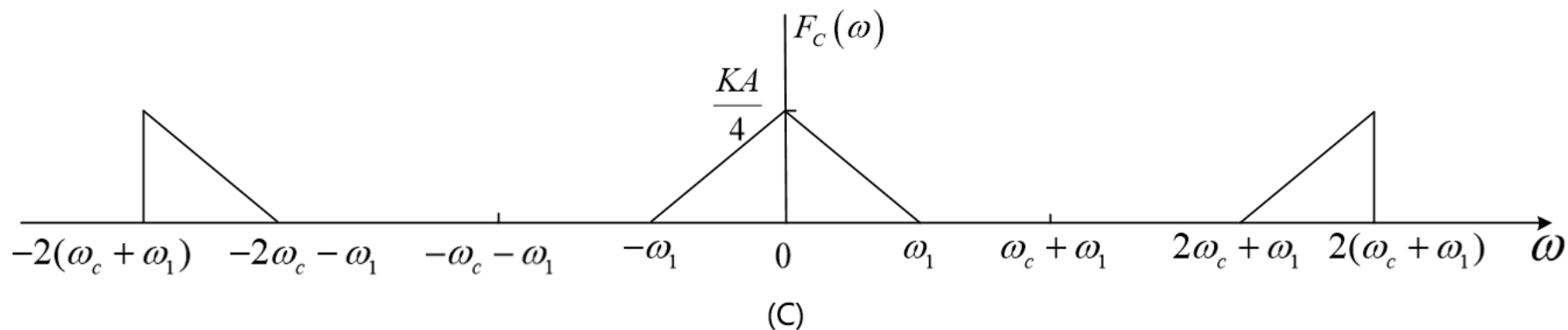
$F_A(\omega)$  的频谱如图 (A) 所示。



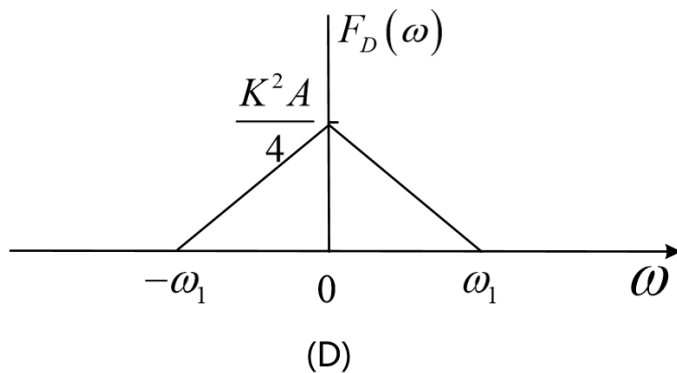
通过理想高通滤波器后，频率低于  $\omega_c$  的部分不通过。 $F_B(\omega)$  的频谱如图 (B) 所示。



因为  $f_C(t) = f_B(t) \cos(\omega_c + \omega_1)t \leftrightarrow F_C(\omega) = \frac{1}{2} [F_B(\omega + (\omega_c + \omega_1)) + F_B(\omega - (\omega_c + \omega_1))]$   
 所以  $F_C(\omega)$  的频谱如图(C)所示。



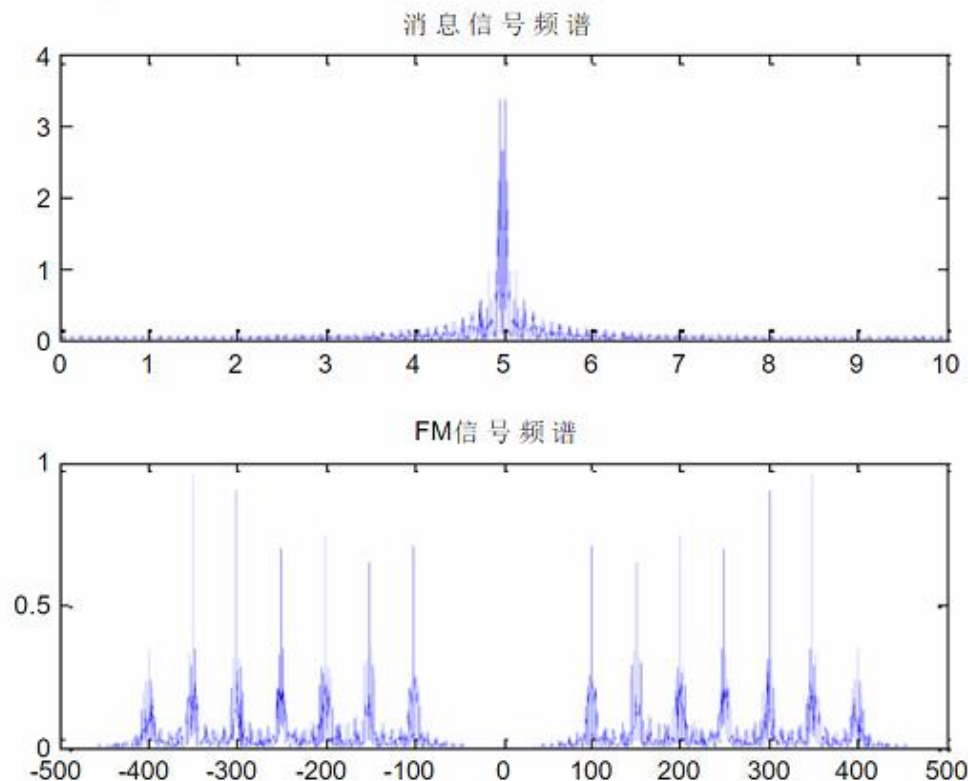
通过理想低通滤波器后，频率高于截止频率  $\omega_c$  的部分不通过。所以  $F_D(\omega)$  的频谱如图(D)所示。



### 5.7.5 非线性调制的原理

使高频载波的**频率或相位**按调制信号的规律变化而振幅保持恒定的调制方式，称为频率调制（**FM**）和相位调制（**PM**），分别简称为**调频**和**调相**。频率或相位的变化都可以看成是载波角度的变化，故调频和调相又统称为角度调制。

右图为一调频信号示意图，可见调制后的频谱与原始频谱不再相似。



5.1 引言

5.2 利用频域系统函数求响应

5.3 无失真传输

5.4 理想低通滤波器

5.5 系统的物理可实现性

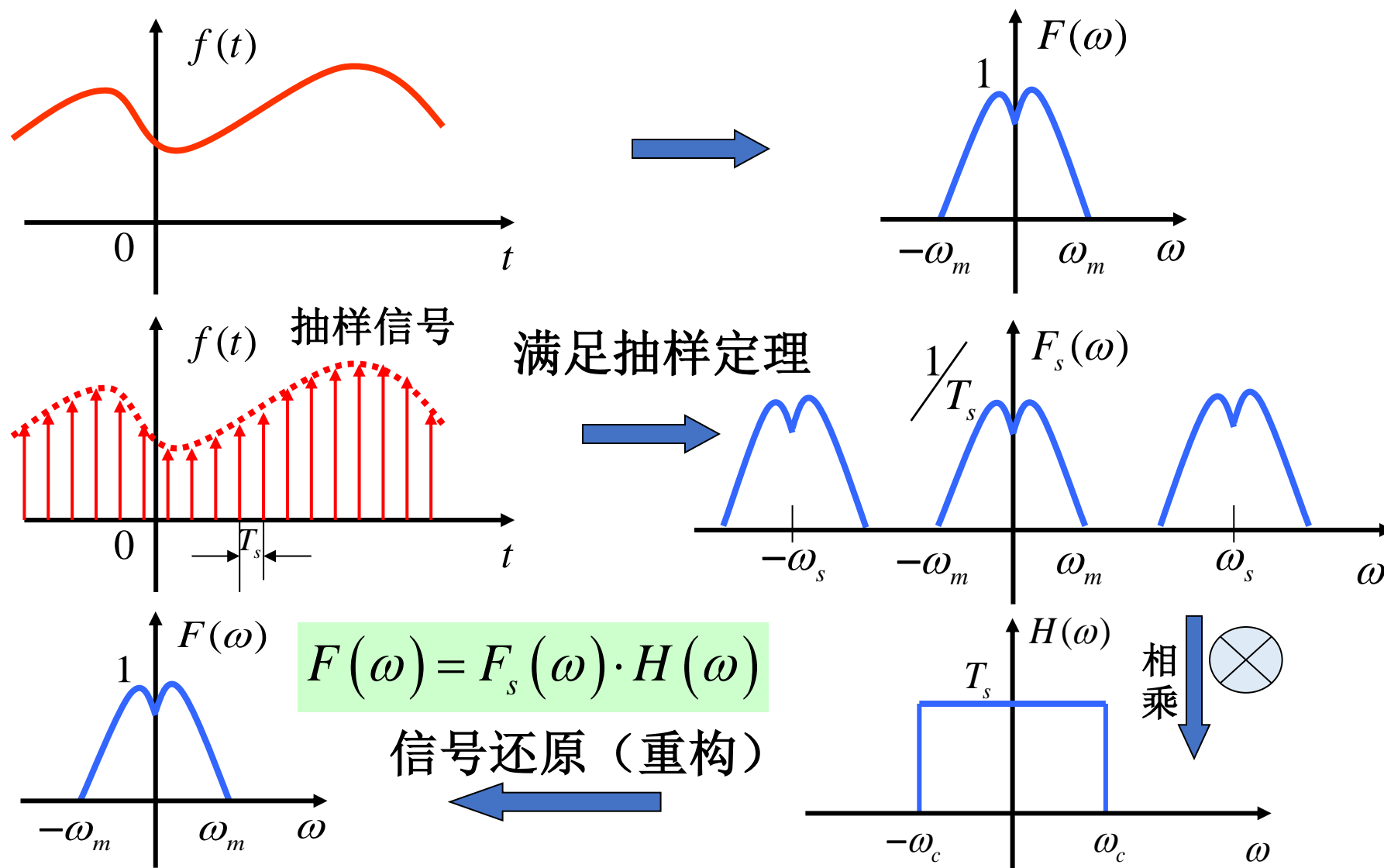
5.6 利用希尔伯特变换研究系统函数的约束特性

5.7 调制与解调

5.8 从抽样信号恢复连续时间信号

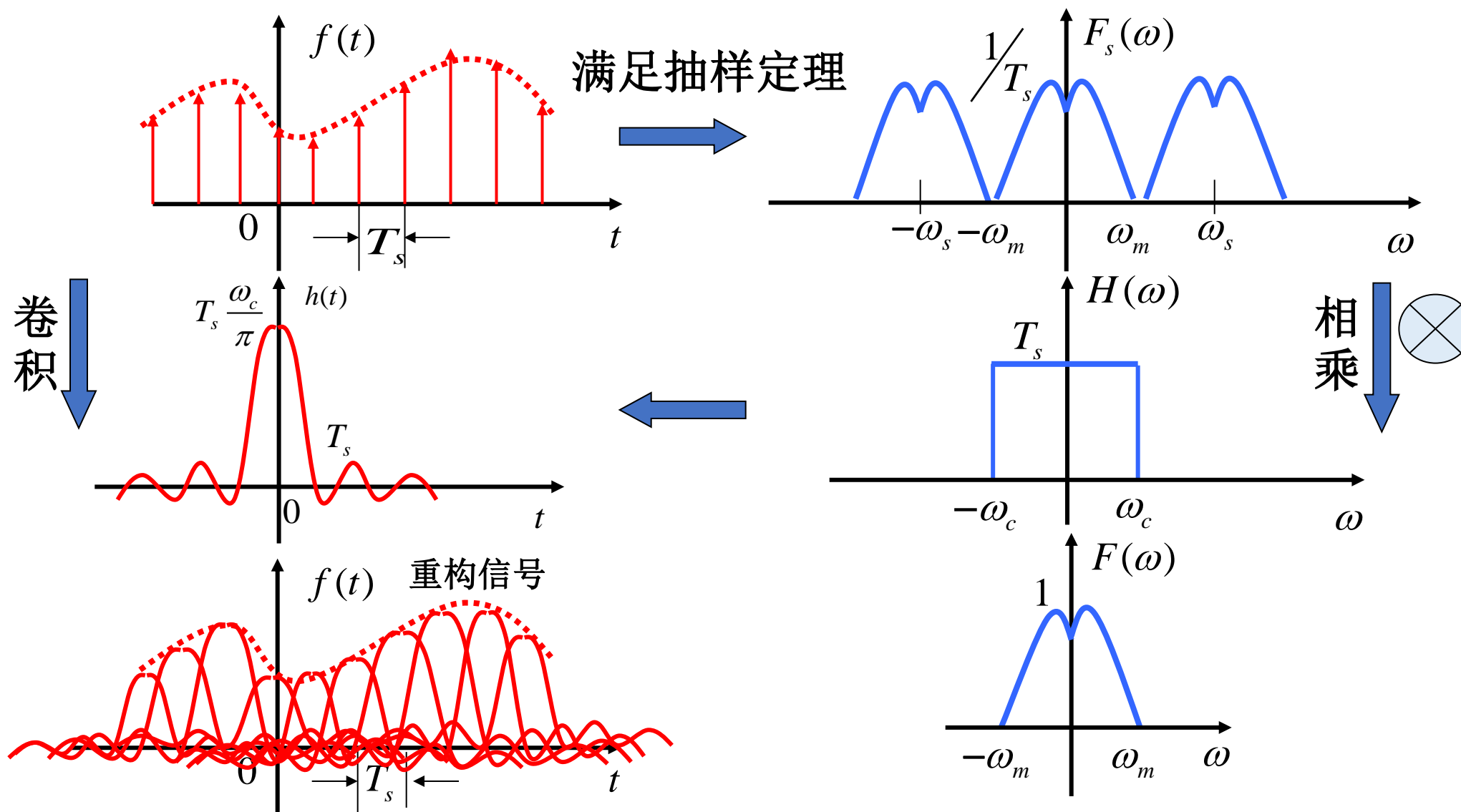
5.9 频分复用 (FDM) 与时分复用 (TDM)





## 5.8 从抽样信号恢复连续时间信号

### 从冲激抽样信号恢复连续时间信号



时域分析

$$f_s(t) = f(t) \sum_{n=-\infty}^{\infty} \delta(t - nT_s) = \sum_{n=-\infty}^{\infty} f(nT_s) \delta(t - nT_s)$$

$$F_s(\omega) = \frac{1}{T_s} \sum_{n=-\infty}^{\infty} F(\omega - n\omega_s) \quad \omega_s = \frac{2\pi}{T_s}$$

$$\therefore f(t) = h(t) * f_s(t) = T_s \cdot \frac{\omega_c}{\pi} \text{Sa}(\omega_c t) * \sum_{n=-\infty}^{\infty} f(nT_s) \delta[\omega_c(t - nT_s)]$$

$$= T_s \cdot \frac{\omega_c}{\pi} \sum_{n=-\infty}^{\infty} f(nT_s) \text{Sa}[\omega_c(t - nT_s)]$$

插值公式—在抽样点之间插值，恢复连续时间信号。

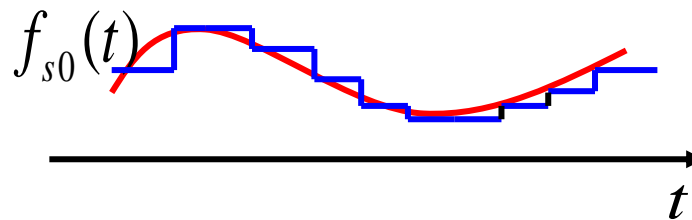
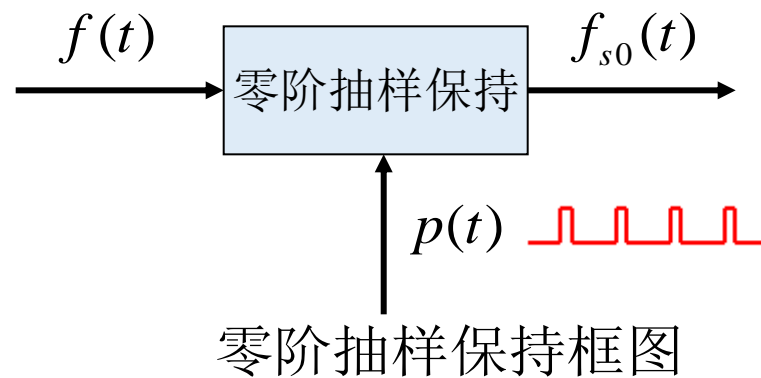
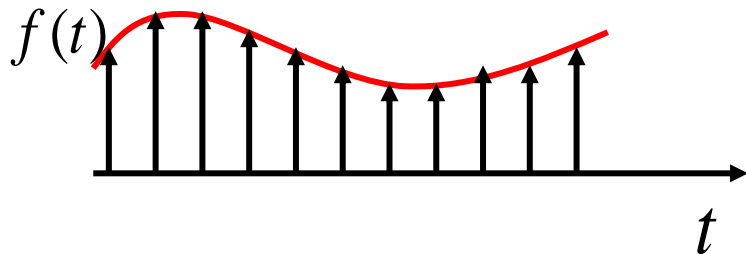
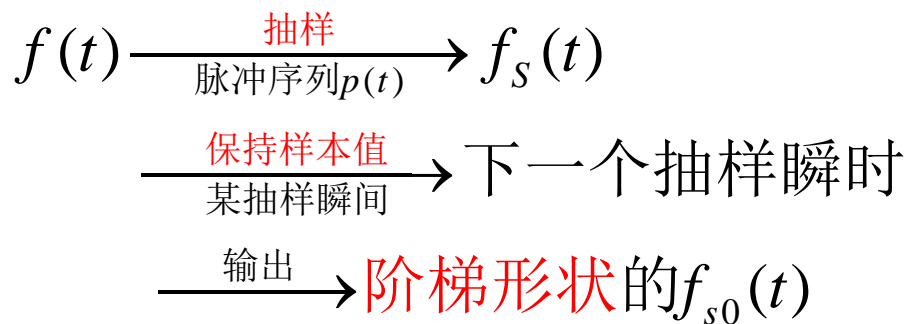
连续信号 $f(t)$ 展成了抽样函数的无穷级数，级数的系数与 $f(nT_s)$ 成正比。  
(线性叠加)

临界抽样时,  $\omega_s = 2\omega_m, T_s = \pi / \omega_m, \omega_c = \omega_m$

$$\therefore f(t) = \sum_{n=-\infty}^{\infty} f(nT_s) \text{Sa}[\omega_c(t - nT_s)]$$

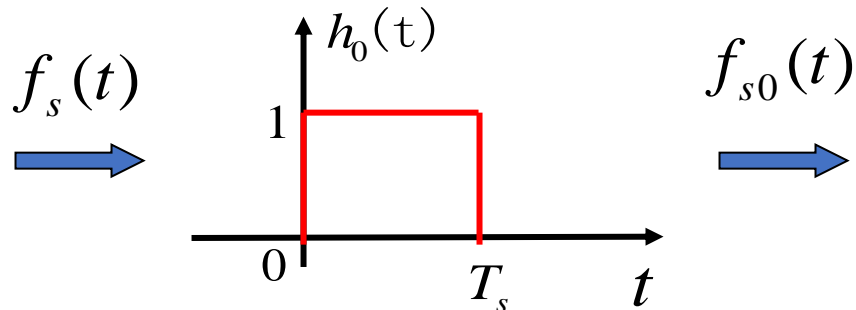
### 抽样保持

由于理想的抽样脉冲在实际电路中产生及传输都很困难，在通信系统中采用其它抽样方式，最常用的是**零阶抽样保持**，简称**抽样保持**。



**抽样保持：** 构建一个线性系统使其达到保持电平作用

此线性系统必须具有如下单位冲激响应：



$$\therefore f_{s0}(t) = f_s(t) * h_0(t) \quad H_0(\omega) = T_s \text{Sa}\left(\frac{\omega T_s}{2}\right) e^{-j\frac{\omega T_s}{2}}$$

$$\therefore F_{s0}(\omega) = F_s(\omega) H_0(\omega) = \sum_{n=-\infty}^{\infty} F(\omega - n\omega_s) \text{Sa}\left(\frac{\omega T_s}{2}\right) e^{-j\frac{\omega T_s}{2}}$$

$F_{s0}(\omega)$ 的频谱基本特征仍是 $F(\omega)$ ,其频谱以 $\omega_s$ 周期重复,但要乘上

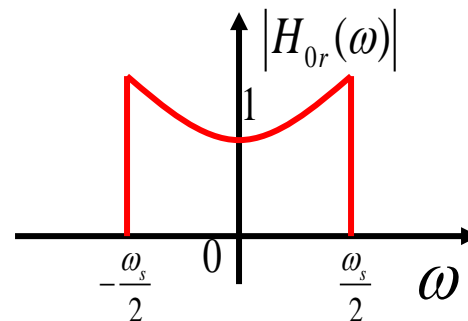
$\text{Sa}\left(\frac{\omega T_s}{2}\right)$ 函数,并附加了延时因子项 $e^{-j\frac{\omega T_s}{2}}$ 。

$$\xrightarrow{\text{恢复}} F(\omega) = F_{s0}(\omega) \cdot H_{0r}(\omega) \xrightarrow{\mathcal{F}^{-1}} f(t)$$

为复原信号 $f(t)$ , 使用**有补偿性质的低通滤波器**。

其频响特性为:

$$H_{0r}(\omega) = \begin{cases} \frac{e^{j\frac{\omega T_s}{2}}}{\text{Sa}\left(\frac{\omega T_s}{2}\right)} & |\omega| \leq \frac{\omega_s}{2} \\ 0 & |\omega| \geq \frac{\omega_s}{2} \end{cases}$$



一般仅要求:  $|H_{0r}(\omega)|$  曲线大致接近补偿;  $\varphi(\omega)$  线性相移特性。

应用: 多用于数字通信系统中产生和传输信号。

5.1 引言

5.2 利用频域系统函数求响应

5.3 无失真传输

5.4 理想低通滤波器

5.5 系统的物理可实现性

5.6 利用希尔伯特变换研究系统函数的约束特性

5.7 调制与解调

5.8 从抽样信号恢复连续时间信号

5.9 频分复用（FDM）与时分复用（TDM）

### 5.9.1 多路复用

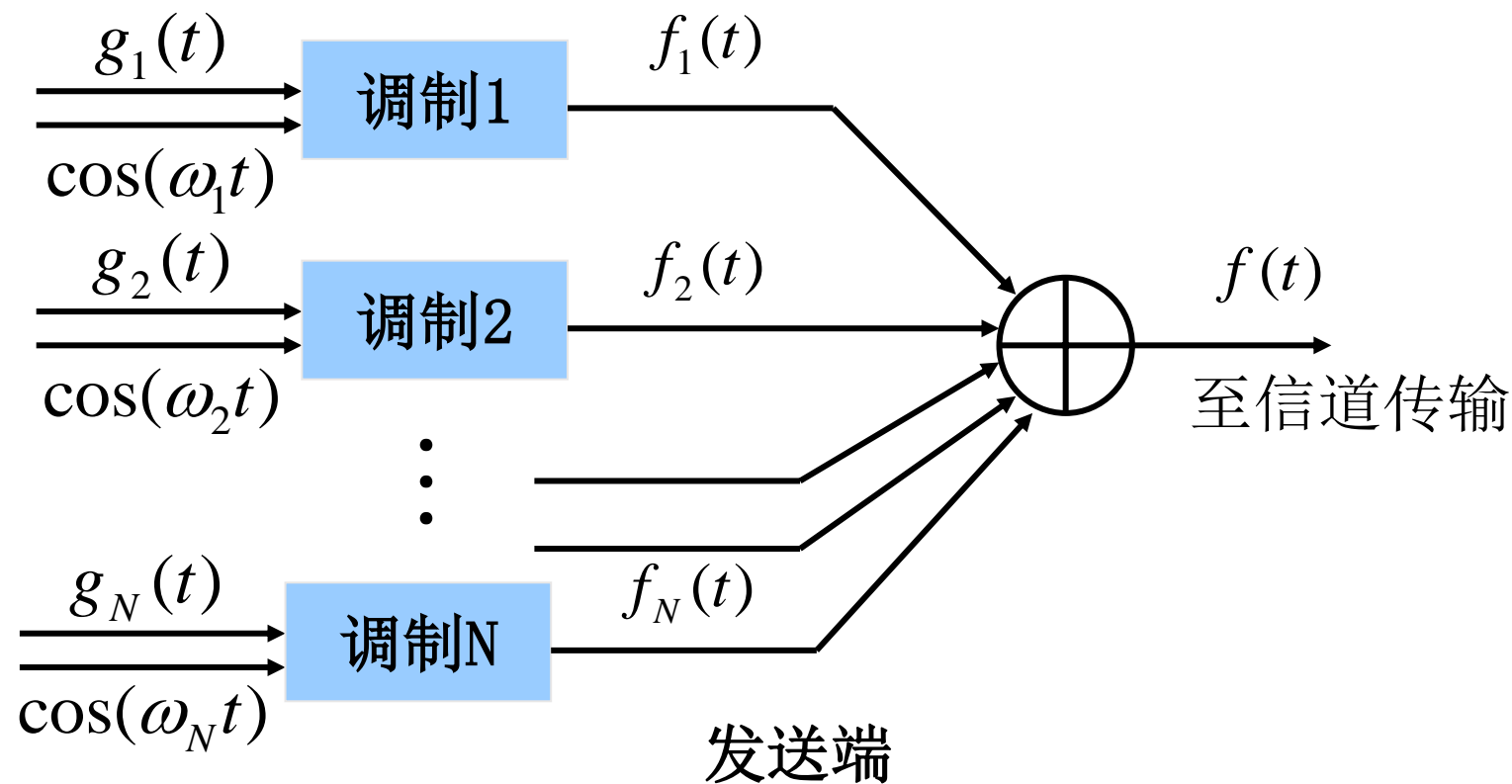
将若干路信号以某种方式汇合，统一在同一信道中传输称为多路复用。

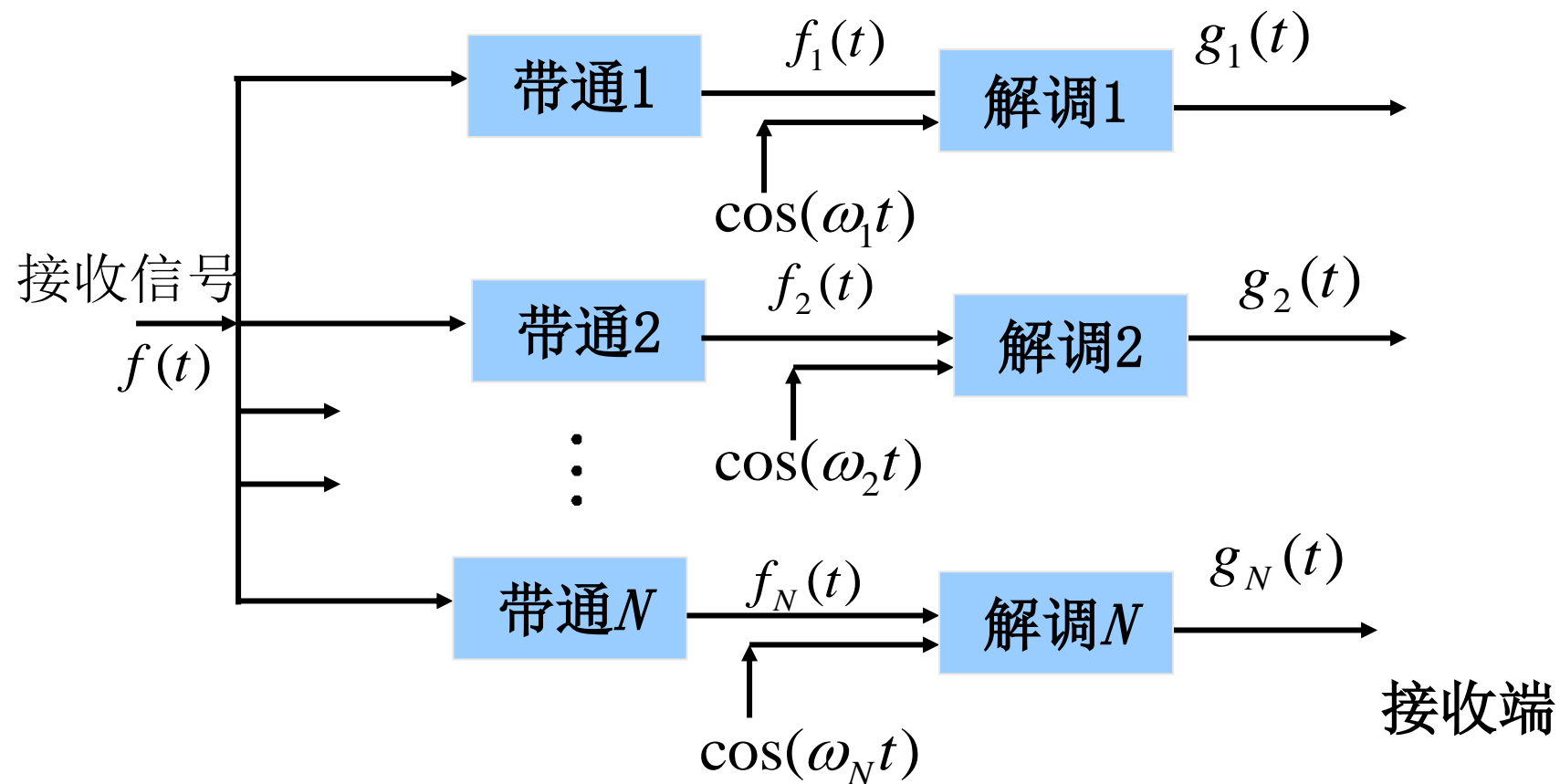
### 5.9.2 频分复用（Frequency Division Multiplexing, FDM）

- （1）在发送端将各路信号频谱搬移到各不相同的频率范围，使它们在频谱上互不重叠，这样就可复用同一信道传输。
- （2）在接收端利用若干滤波器将各路信号分离，再经解调即可还原为各路原始信号。



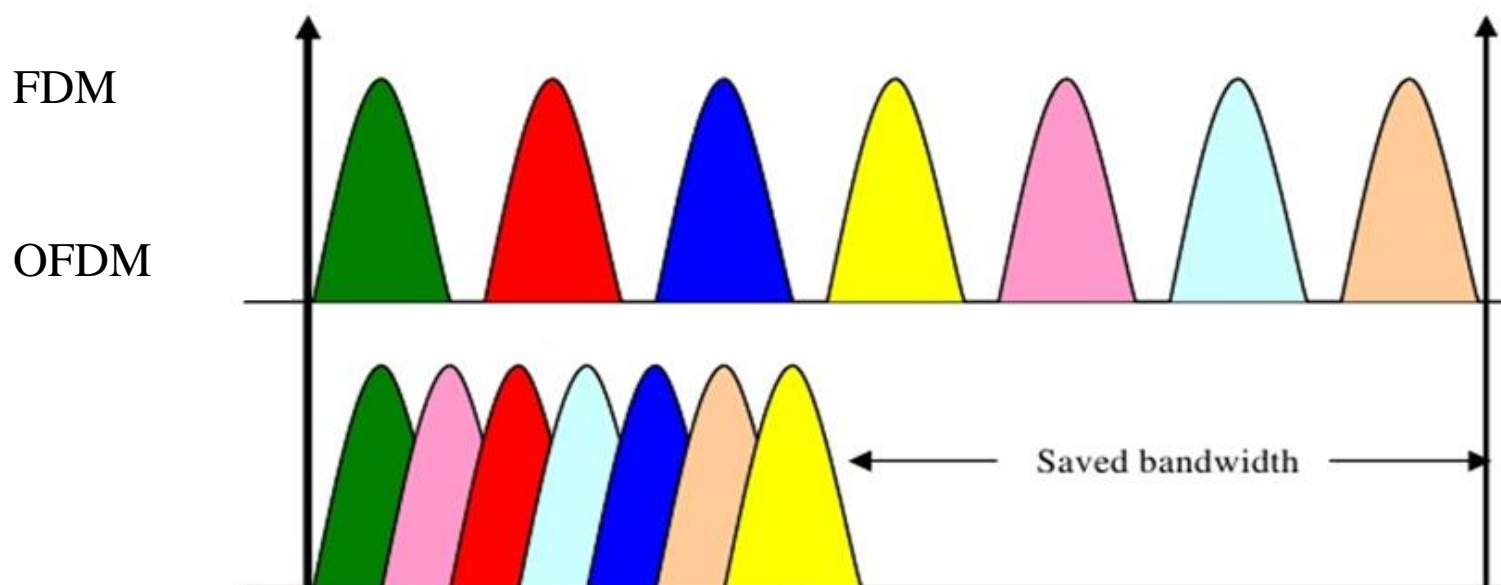
频分复用通信系统框图：





### 5.9.3 正交频分复用 (Orthogonal Frequency Division Multiplexing, OFDM)

- 正交频分复用使用部分相互重叠的**正交**子载波。
- 正交频分复用比频分复用频谱效率更高, 用于5G, WiFi等系统。



### 5.9.4 时分复用 (Time Division Multiplexing, TDM)

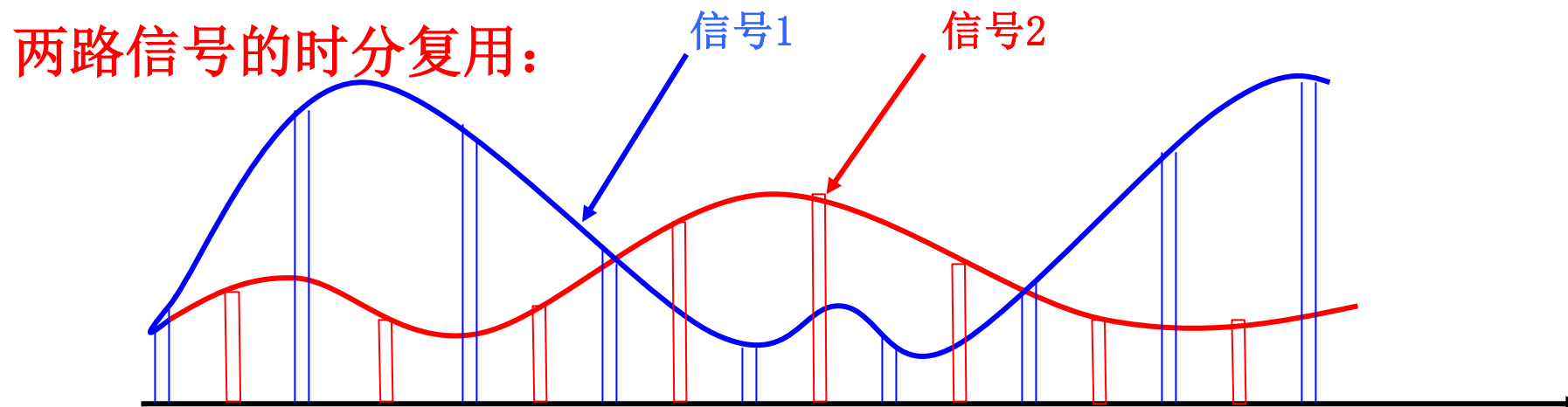
时分复用的理论依据：**抽样定理**。

$-f_m \sim +f_m$  的信号，可由间隔为  $1/(2f_m)$  的抽样值唯一确定。从这些瞬时抽样值可以正确恢复原始的连续信号。

信道仅在抽样瞬间被占用，其余的空闲时间可供传送第二路、第三路……等各路抽样信号使用。

将各路信号的抽样值有序的排列就可实现时分复用。

在接收端，这些抽样值由适当的同步检测器分离。

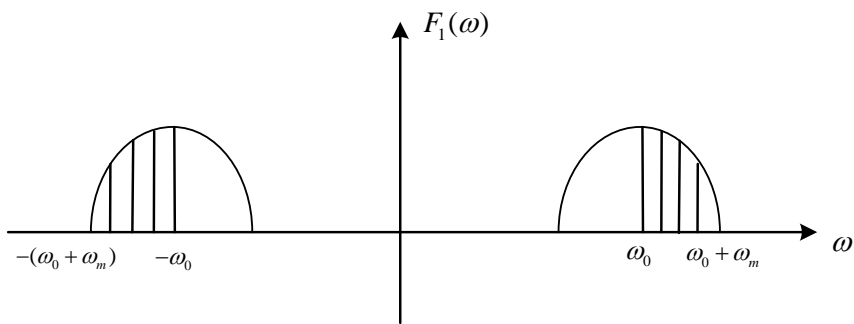


基础题：5-17，5-19，5-20，5-24，5-25。

加强题：5-27。

【说明】5-17中，采用**单边带调制**，即在双边带调制基础上滤除掉频谱当中重复的部分（上边带/下边带），分为抑制上边带调制与抑制下边带调制，可节省一半带宽。

5-17图所示为**抑制下边带调制**，即只保留上边带（图示阴影部分）。



**抑制上边带调制**的原理类似，如下图所示：

